



INSTITUT NATIONAL DE RECHERCHE
EN INFORMATIQUE ET EN AUTOMATIQUE
CENTRE DE ROCQUENCOURT

Institut National
de Recherche
en Informatique
et en Automatique

Domaine de Voluceau
Rocquencourt
BP 105
78153 Le Chesnay Cedex
France
Tél. (1) 39 63 55 11

Rapports de Recherche

N° 545

CLASSIFICATION AUTOMATIQUE DES DONNÉES TECHNIQUES DE PRODUCTION

Hervé GARCIA
Bernard MUTEL
Jean-Marie PROTH

Juillet 1986

**CLASSIFICATION AUTOMATIQUE
DES DONNEES TECHNIQUES DE PRODUCTION**

Hervé GARCIA *
Bernard MUTEL *
Jean-Marie PROTH **

* : Laboratoire d'Automatique et d'Electronique Industrielles,
Université de Metz, IUT, Ile du saulcy, 57045 METZ CEDEX

** : INRIA-LORRAINE, Rue du Doyen Roubault, Château du Montet,
54500 VANDOEUVRE

Ce travail a été financé par l'Agence de l'Informatique (ADI).

PLAN

I - INTRODUCTION

II - CODAGE DES DONNEES DE PRODUCTION

- II-1- Choix d'un code
- II-2- Représentation mathématique du code
- II-3- Exemple
- II-4- Cas des gammes de fabrication

III - RECHERCHE DE FAMILLES DE PIECES

- III-1- Mesure de ressemblance
- III-2- Cas de variables nominales
- III-3- Cas de variables ordinales
- III-4- Distance entre individus
- III-5- Algorithme de classification
 - III-5-1- Critères
 - III-5-2- Algorithme
 - III-5-3- Propriétés
 - III-5-4- Initialisation
 - III-5-5- Validation des classes
- III-6- Exemple

IV - Classement d'une nouvelle pièce

- IV-1- Heuristique de Classement
- IV-2- Remplacement
- IV-3- Cas de distances sur plusieurs groupes

V - CONCLUSION

BIBLIOGRAPHIE

ANNEXE

ABSTRACT

This paper is devoted to the coding in production. It gives a new algorithm for finding part families. It also proposes an affectation algorithm.

RESUME

Dans ce papier, nous examinons les problèmes posés par la codification en production. On y donne un algorithme nouveau de constitution de familles de produits. On y donne également un algorithme d'affectation.



I - INTRODUCTION

La nécessité, pour les entreprises, d'améliorer leur productivité implique une intégration des fonctions du système complet de production. Cette intégration se caractérise en particulier par des échanges accrus d'informations pertinentes entre tous les services de l'entreprise.

Le volume des données commerciales et techniques à prendre en compte exige la mise en oeuvre de processus capables de les filtrer et de les regrouper dans le but d'optimiser leur flux et de faciliter la préparation des solutions issues de l'expérience.

C'est l'un des aspects de la Technologie de Groupe : on cherche à regrouper les produits en familles ou groupes présentant des caractéristiques similaires du point de vue de leur conception et/ou de leur fabrication et/ou de leur assemblage, etc.

Dans la plupart des logiciels de la Technologie de Groupe actuellement sur le marché, la recherche des familles s'effectue simplement par des procédures de tri selon les valeurs des modalités des variables du code représentant les données de production, c'est-à-dire les données qui décrivent la pièce et les indications qui permettent de la produire.

Cette technique de "filtrage par peigne" est insuffisante selon nous pour deux raisons principales :

- la première raison a trait à l'utilisation des codes. Dans le "filtrage par peigne", le tri s'effectue à partir de valeurs fournies par l'utilisateur. Ces valeurs initiales sont déterminantes pour le résultat, qui s'en trouve ainsi faussé.

- la seconde raison a trait à la technique. Le "filtrage par peigne" ne permet en effet que de regrouper des produits très voisins au sens des valeurs des paramètres retenus pour effectuer la sélection, ce qui est très limitatif. En effet, avec cette méthode, deux produits ne figureront dans la même classe que si tous les paramètres retenus par l'utilisateur pour effectuer le traitement ont des valeurs voisines. Or, nous savons bien que deux produits peuvent être "proches" même si, par exemple, les valeurs d'un des paramètres diffèrent beaucoup, à condition, bien entendu, que les valeurs des autres paramètres soient très voisines. La Technologie de Groupe doit, nous semble-t-il, être en mesure d'intégrer ces aspects, surtout dans un monde où l'économie d'envergure remplace progressivement l'économie d'échelle.

C'est ainsi que, depuis plusieurs années, des travaux ont été entrepris pour appliquer les méthodes d'analyse des données, et en particulier de classification automatique, aux problèmes de reconnaissance de familles de produits (1.,2.,3.,4.,5.)

Dans ce qui suit, nous analysons les codes de représentation de pièces mécaniques utilisés dans l'industrie, puis nous proposons une méthode de classification automatique permettant de constituer des familles de pièces.

II - CODAGE DES DONNEES DE PRODUCTION

II-1- CHOIX D'UN CODE

Depuis fort longtemps, on a cherché à identifier les paramètres caractéristiques des produits à fabriquer ainsi que les moyens de fabrication et de transport. Ceci a donné lieu à la définition de nombreux codes de représentation des produits. La figure 1 recense les caractéristiques des codes de représentation de pièces mécaniques les plus utilisés.

D'une façon générale, les paramètres caractéristiques d'un produit dépendent des objectifs de classification à réaliser. La figure 2 donne quelques uns de ces objectifs pour les services techniques.

A chacun de ces objectifs va correspondre un code particulier. Ce code général C de représentation d'un produit sera l'union des codes C_i pour chaque objectif f_i :

$$C = \bigcup_i C_i$$

Afin d'éviter la redondance d'informations, la réunion des codes se fait avec le "ou exclusif" noté V :

$$C = \bigvee_i C_i$$

Le nombre de grandeurs caractéristiques d'un code (variables) ne doit être ni trop faible ni trop grand.

		CODES	ACAPS	SAGT	CETIM	TECLA	TNO	OPITZ	GIR
		Nombre de positions	21	18	6	12	12	13	19
CARACTERISTIQUES	MORPHOLOGIE	- Pièces de révolution							
		. sans dimension			x				
		. dimensions	x	x		x	x	x	x
		. rapport L/D							
		- Pièces de non révolution							
		. sans dimension			x				
		. dimensions	x			x	x	x	x
		. rapport de dimensions	x				x	x	x
		- Formes							
		. extérieures	x	x	x	x	x	x	x
		. intérieures	x	x	x	x	x	x	x
		. complémentaires	x	x	x	x	x	x	x
		. complexité		x				x	x
	FONCTION	Type de Pièces	x						x
	FABRICATION	Matière première	x	x	x	x	x	x	x
		Forme initiale			x		x	x	x
		Tolérances	x	x		x	x	x	x
		Etat de surface		x		x	x		x
		Quantité		x			x	x	x
		Poids						x	
		Axes d'usinage							x
		Surfaces non usinées	x						
		Temps de fabrication	x						

Code de représentation de pièces mécaniques

Fig. 1

Bureau d'étude

- standardisation des formes
- classification

Bureau des méthodes

- normalisation des procédés de fabrication
- détermination des gammes types
- détermination des temps regroupés
- normalisation de l'outillage

Atelier

- organisation en îlots
- transport
- assemblage

Domaines d'application de la T.G.

Fig. 2

Un faible nombre de paramètres facilite l'écriture et l'interprétation du code. Cependant, si ce nombre est trop restreint, la représentation est imprécise et ne permet pas de faire apparaître des familles suffisamment homogènes.

Par contre, un nombre important de paramètres revient à noyer les paramètres caractéristiques les plus pertinents dans un amas de caractéristiques secondaires. Ceci introduit un "bruit de fond" important qui influence défavorablement les résultats. On sait, en effet, qu'une éventuelle pondération des variables est, en pratique, difficile et conduit à des résultats peu significatifs. La pondération est d'ailleurs impossible dans les "filtrages par peigne".

REMARQUE

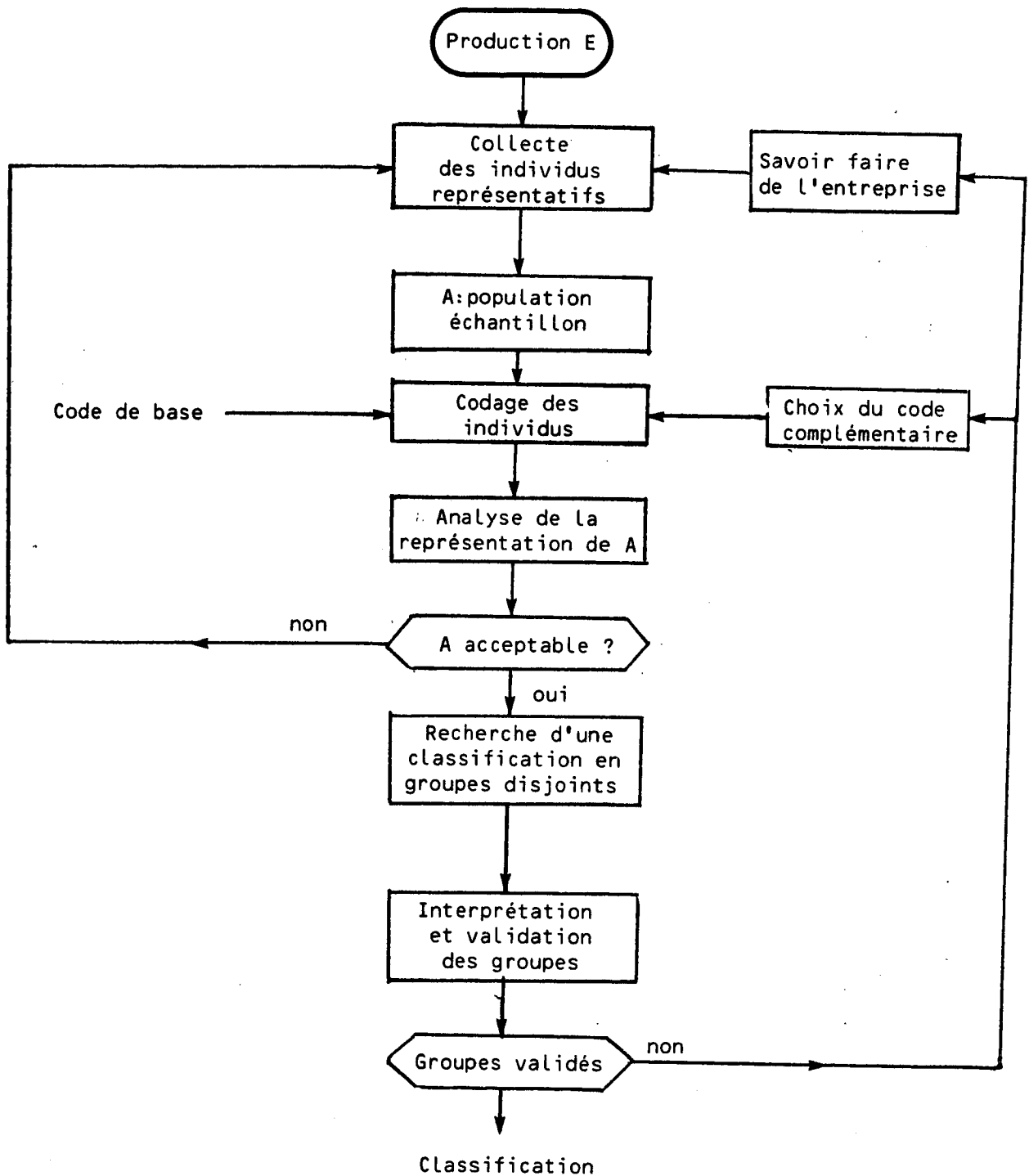
Le problème des codes en FAO (Fabrication Assistée par Ordinateur) que nous traitons ici restera longtemps d'actualité, malgré les tentatives intéressantes pour le déduire automatiquement des résultats de la CAO.

Soulignons d'ailleurs que le code FAO s'obtient en interprétant le code CAO à la lumière de connaissances technologiques. Ceci rend le passage automatique de CAO et FAO peu probable.

En pratique, les codes industriels comportent de 5 à 50 variables. On choisit un code de base C_b existant, se rapprochant le plus de l'objectif à atteindre et du type de production concernée. A ce code de base, on adjoint un code complémentaire C_c spécifique de l'application envisagée et des particularités de l'entreprise. Le choix de ce code complémentaire est délicat lors d'applications nouvelles.

Le code optimal résulte de la classification. Il s'obtient en dégageant les paramètres caractéristiques des classes obtenues. Il s'agit d'une analyse discriminante. Il faut cependant souligner que le code dit "optimal" reste dans l'espace des paramètres initialement retenus. Si donc le code initial ne contient pas explicitement ou implicitement les paramètres caractéristiques que l'on recherche, il ne faut espérer aboutir à un code "optimal" ou simplement acceptable. En outre, la classification devrait théoriquement se faire à partir de l'ensemble de la population. Mais cela exigerait la connaissance du code complet de tous les éléments de cette population. Or l'établissement du code complémentaire C_c est long et difficile. On se contente donc généralement de traiter un échantillon de population jugé significatif.

La figure 3 résume le processus de choix du code.



Processus de choix du code de production

Fig. 3

La population échantillon A est un sous-ensemble de la population totale E. A est souvent choisi de telle sorte qu'elle représente au mieux la majorité des produits de E. Ceci élimine les sous-populations peu nombreuses.

II-2- REPRESENTATION MATHEMATIQUE DU CODE

Le choix d'une population échantillon et d'un code étant effectué, nous sommes en présence d'une collection de paramètres

(ou variables) caractéristiques. La majorité des codes ne considère que des variables nominales comportant chacune 10 modalités. Il y a ainsi perte d'information (Dégénérescence des variables métriques et ordinales en variables nominales).

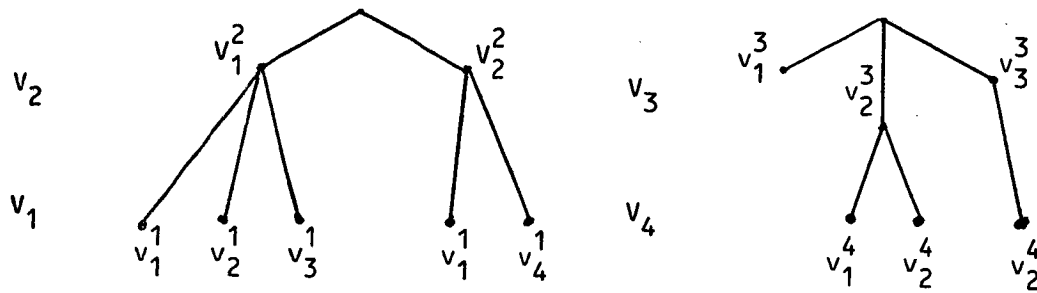
Soit un produit x (individu) appartenant à A. x est représenté par p variables v^j , et $\text{card } A = n$

$$x = (v^1, v^2, \dots, v^p)$$

Afin d'avoir une représentation visuelle approchée de la répartition des produits dans R^p et de la répartition des modalités dans R^n il est souvent intéressant d'effectuer une analyse fonctionnelle des correspondances (3.). L'analyse des premiers plan factoriels permet de se rendre compte rapidement de la pertinence du code et des modalités ainsi que de la distribution des produits dans A.

Dans l'industrie, chaque code se représente sous forme d'une ou plusieurs arborescences. Deux variables dépendantes se trouvent dans la même arborescence. Deux variables indépendantes se trouvent dans des arborescences différentes. C'est au moins l'objectif. La figure 4 schématise cette situation pour l'exemple donné par le tableau suivant :

variables \ valeurs	v_1	v_2	v_3	v_4
1	v_1^1	v_2^2	v_3^3	v_4^4
2	v_1^2	v_2^1	v_3^1	v_4^1
3	v_1^3	v_2^3	v_3^2	v_4^2
4	v_1^4		v_3^4	
5	v_1^5			



Structure d'un code

Fig. 4

Dans ce cas de figure, V_1 et V_2 sont dépendantes de même que V_3 et V_4 . On remarquera que le graphe et le tableau ne sont pas en correspondance biunivoque. Par contre un élément quelconque du couple (V_1, V_2) est indépendant d'un élément quelconque du couple (V_3, V_4) .

Ces codes se prêtent mal à l'analyse des données qui demande, pour être objective, un poids identique pour chaque variable. L'indépendance des variables est un facteur supplémentaire d'efficacité des techniques d'A.D. Ainsi, en classification automatique, on est amené à effectuer un transcodage T sur les individus.

$$x = (x^1, x^2, \dots, x^p) \xrightarrow{T} (x^1, x^2, \dots, x^q)$$

L'algorithme de transcodage dépend du code. Il a pour but de restituer des variables indépendantes auxquelles on attribuera le même poids. L'ensemble des individus constitue le tableau de données X à classer, où x_i est la valeur prise par la $j^{\text{ème}}$ variable de l'individu x . Afin qu'il n'y ait pas de perte d'information lors du transcodage, nous construisons en pratique deux tableaux de n individus. Le premier comporte en colonne les q_1 variables nominales et l'autre les q_2 variables ordinales. ($q_1 + q_2 = q$)

II-3- EXEMPLE : CODE CETIM OTP (fig. 5)

Le code de base comporte trois caractéristiques (rangs).

La caractéristique de rang 3, qui indique le rapport longueur sur diamètre pièce, est une variable ordinale.

L'interprétation des modalités de la caractéristique de rang 2 dépend étroitement de la valeur des modalités du rang précédent.

Ainsi, pour $v^1 = (0,1,2,3,4)$ la signification de v^2 est donnée par le tableau.



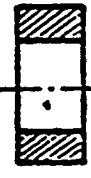


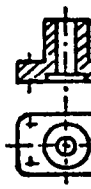




Pour $v^1 = 5$ ou 6 ou 7 ou 8 ou 9, les modalités de la variable v^2 auront une autre signification.

GROUPEMENT ANALOGIQUE DES PIECES


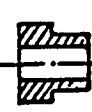

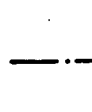

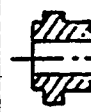
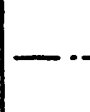

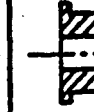
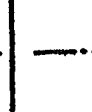
CODE  O.T.P.

CODE PRIMAIRE MORPHODIMENSIONNEL

Rang 1 - TYPE DE PIECE

DE REVOLUTION				COMPOSE AVEC FORME DE REVOLUTION		NON DE REVOLUTION			
PLEINE	AVEC TROU BORGNE	AVEC TROU DEBOUCHANT		AUTRE	SUIVANT 1 AXE	MULTI-AXE	PARALLELEPIPEDIQUE		AUTRE
		NON ETAGE	ETAGE				PLATE		
									
0	1	2	3	4	5	6	7	8	9

↓

									
0	1	2	3	4	5	6	7	8	9

L/D ≤ 1/10	> 1/10 ≤ 1/5	> 1/5 ≤ 1/3	> 1/3 ≤ 1/2	> 1/2 ≤ 3/4	> 3/4 ≤ 1	> 1 ≤ 1,5	> 1,5 ≤ 2	> 2 ≤ 3	L/D > 3
0	1	2	3	4	5	6	7	8	9

Fig. 5

II-4- CAS DES GAMMES DE FABRICATION

Au paragraphe II-2 nous avons discuté du choix des variables d'un code lorsque celles-ci ne simposaient pas. C'est le cas par exemple de la représentation d'un plan de détail, d'un devis,.... Ce choix des variables pour représenter les gammes de fabrication est évident : c'est la suite des opérations de la gamme. Par contre, le choix d'une représentation mathématique est délicat car nous sommes en présence d'une suite ordonnée incomplète de modalités. Nous avons proposé deux méthodes pour représenter ce type de problèmes : l'une est basée sur un transcodage pour se ramener à une matrice logique (11.), l'autre est basée sur une méthode de reconnaissance structurelle de gammes utilisant la programmation dynamique (12.). Cette dernière utilise comme critère le coût d'appariement entre gammes en tenant compte de contraintes techniques (machine multi-opérations, gammes de remplacement,...) et de contraintes économiques (charges des machines,...).

III - RECHERCHE DE FAMILLES DE PIECES

III-1- DEFINITION D'UNE MESURE DE RESSEMBLANCE ENTRE INDIVIDUS

Soit E l'ensemble des individus. On définit une application d de $E \times E$ dans R^+ . d est une distance si elle respecte les axiomes suivants :

- $d(x_i, x_j) = 0$ si $i = j \quad \forall i, j \in E$
- $d(x_i, x_j) = d(x_j, x_i)$
- $d(x_i, x_j) \leq d(x_i, x_k) + d(x_k, x_j) \quad \forall k \in E$

Nous distinguons respectivement deux distances sur les tableaux X_1 et X_2 à q_1 et q_2 variables.

III-2- CAS DES VARIABLES NOMINALES

Nous construisons un tableau disjonctif complet sur les q_1 variables nominales pour obtenir un tableau logique T_1 . A partir de ce tableau nous définissons la distance entre individus x_i et x_j selon la distance de Hamming pondérée :

$$d_1(x_i, x_j) = \sum_{r=1}^{q_1} \alpha_1^r (x_i^r - x_j^r)^2$$

α_1^r pondération sur les variables.

D'autres mesures de distance peuvent être choisies à partir d'indices de ressemblance définis sur l'ensemble des variables logiques. Il faut cependant s'assurer que les dissimilarités correspondantes présentent bien les propriétés des distances Euclidiennes (7.).

III-3- CAS DE VARIABLES ORDINALES

Nous considérons indifféremment les variables numériques et ordinales. La distance entre deux individus est :

$$d_2(x_i, x_j) = \sum_{r=q_1+1}^q \alpha_2^r (x_i^r - x_j^r)^2$$

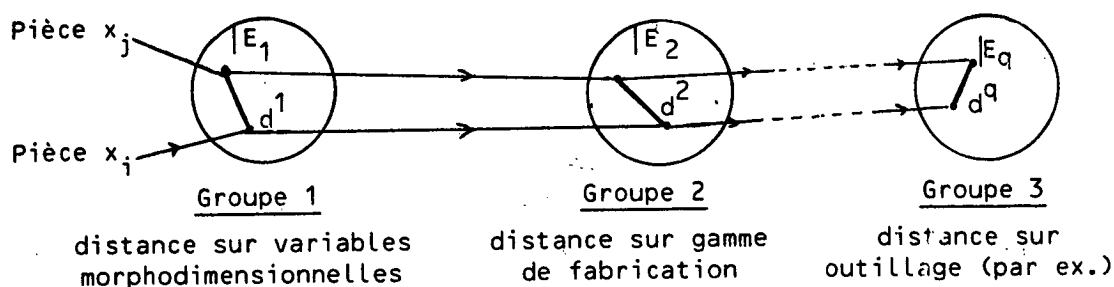
$$x^r = \frac{x^r - \bar{x}^r}{\sigma_r} \quad \bar{x}^r = \frac{1}{n} \sum_{i=1}^n x_i^r$$

$$\sigma_r^2 = \frac{1}{n} \sum_{i=1}^n (x_i^r - \bar{x}^r)^2$$

III-4- DISTANCE GLOBALE ENTRE INDIVIDUS

Nous venons de calculer les distances entre pièces représentées par des variables du groupe morphodimensionnel. Mais ces mêmes pièces peuvent être également représentées par des variables d'autres groupes comme indiqué en II.4 pour les gammes de fabrication.

Ainsi, dans le cas général, l'appariement entre deux individus (pièces) se fait à partir d'une distance globale, somme des distances sur différents types de variables des différents groupes (fig. 6). Cette distance globale est un scalaire et l'on n'a plus la notion de nuage de points dans R^p .



Distance globale entre individus

Fig. 6

Pour différents groupes $d(x_i, x_j) = \sum_{r=1}^q \alpha_r d_{ij}^r$

 α_r pondération entre les groupes.

Dans ce qui suit nous ne considérons qu'un seul groupe E_1 .

La distance entre deux individus est :

$$d(x_i, x_j) = \frac{\lambda_1}{h_1} d_1(x_i, x_j) + \frac{\lambda_2}{h_2} d_2(x_i, x_j)$$

- λ_1, λ_2 : pondération choisie par l'utilisateur entre les tableaux des variables qualitatives et quantitatives. Normalement : $\lambda_1 = \frac{1}{q_1}$ et $\lambda_2 = \frac{1}{q_2}$, où q_1 et q_2 sont les tailles des groupes.
- h_1, h_2 : pondération sur les distances afin que leur contributions aient le même poids. Généralement $h_1=1$ et $h_2=1$, sinon h_1 est la plus grande valeur propre de la matrice de variance covariance du tableau T, de même pour h_2 (8.)

III-5- ALGORITHME DE CLASSIFICATION

III-5-1- CRITERE

Soit T le tableau symétrique croisant les distances entre pièces.

On recherche une partition P de T en K classes disjointes telle que toute pièce x_i appartenant à une classe P_l soit plus proche des autres pièces $x_j \in P_l$ que des pièces $x_r \notin P_l$.

$$P = (P_1, \dots, P_K)$$

soit $x_i \in P_i$

$$\left. \begin{aligned} d(x_i, x_j) &\leq d(x_i, x_r) & \forall i, j \in P_l \\ & & \forall r \notin P_l \end{aligned} \right\} \quad l = 1, 2, \dots, K$$

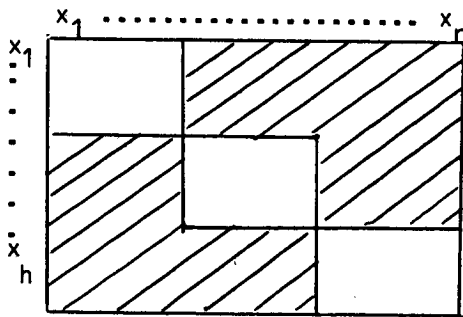


Tableau T

Ceci vient à rechercher K blocs diagonaux tels que les distances à l'intérieur de ces blocs soient inférieures à n'importe quelle distance hors bloc.

En pratique, nous affectons un poids m_i à chaque individus x_i afin de tenir compte de l'importance de la série de pièces, de la plus value, etc.

$$\text{Soit } W(P) = \sum_{p=1}^K \frac{1}{2M_l} \sum_{j \in P_l} \sum_{i \in P_l} m_i d(x_i, x_j)$$

Une bonne solution du problème précédent est la recherche d'une partition P^* qui minimise $(W(P))$.

$$W(P^*) = \min_P W(P)$$

III-5-2- ALGORITHME

1. Initialisation. Partition initiale, $W^0 = \infty$, nombre de classes K

2. Pour chaque individu x_i , $i=1, \dots, n$

2.1. Pour chaque classe P_l , $l=1, \dots, K$

2.1.1. Calculer

$$D(x_i, P_l) = \frac{1}{M_l} \sum_{j \in P_l} m_j d(x_j, x_i)$$

$$M_l = \sum_{j \in P_l} m_j$$

3. Pour chaque individu x_i , $i=1, \dots, n$

3.1. Affecter x_i à P_{l^*} tel que

$$D(x_i, P_{l^*}) = \min_l D(x_i, P_l)$$

4. Calculer $W' = \frac{1}{2} \sum_{l=1}^K \frac{1}{M_l} \sum_{\substack{j \in l \\ i \in l}} (m_i d(x_i, x_j))$

$$\text{avec } M_l = \sum_{j \in l} m_j$$

5. Calculer $W^0 - W' = \delta$

5.1. Si $\delta > \epsilon$ donné, alors $W^0 = W'$ et retourner en 2, sinon, aller en 6.

6. Fin de procédure

III-5-3- PROPRIETES DE L'ALGORITHME

THEOREME : Si q est l'indice d'itération de l'algorithme alors la suite des valeurs prises par W^0 est une suite décroissante convergente.

DEMONSTRATION : Nous avons $W^0 \geq 0$ à chaque itération.

A la $q^{\text{ème}}$ itération

$$v_q = W^0 = \sum_{l=1}^K \sum_{i \in P_l} D(x_i, P_{l*}^{(q)})$$

A l'itération $(q+1)$, $P^{(q+1)} = (P_1^{(q+1)}, \dots, P_K^{(q+1)})$ est construit tel que $D(x_i, P_{l*}^{(q+1)}) = \min_l D(x_i, P_l^q)$,

d'où $v_{q+1} \leq v_q$.

La suite v_q est donc décroissante et converge en un nombre fini d'itérations car card (T) est fini.

Cet algorithme de classification peut être considéré comme une extension de la méthode décrite en (10.) et comme une variante de la méthode des nuées dynamiques (9.) (noyau partition avec masses variables). Le tableau des distances étant donné une fois pour toutes, l'algorithme ne nécessite à chaque itération que le calcul des sommes des distances intra et inter classes.

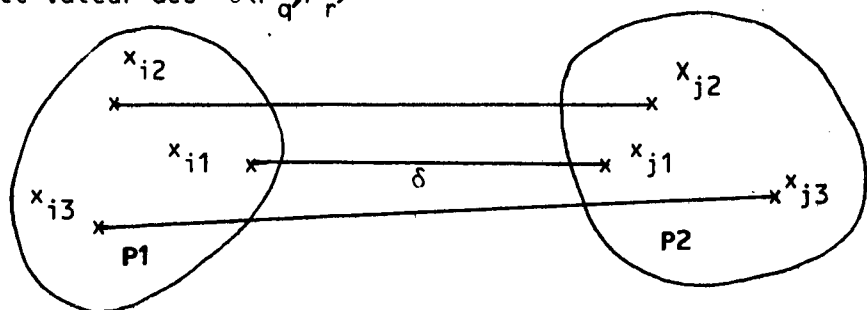
III-5-4- INITIALISATION

Compte tenu du fait que nous disposons des distances entre individus, l'initialisation se fait par une classification hiérarchique ascendante avec aggrégation des classes par diamètre maximum.

Les classes P_1 et P_2 seront réunies si

$$\delta(P_1, P_2) = \max d(x_i, x_j) \quad \forall x_i \in P_1, x_j \in P_2$$

est la plus petite valeur des $\delta(P_q, P_r)$



Du point de vue pratique, cette initialisation permet de se fixer un nombre de classes K compte tenu de la dispersion maximale entre individus que l'on se donne sur les classes. Ceci permet éventuellement d'éliminer des individus trop disparates par rapport à la population.

REMARQUE : Le tableau T étant symétrique et de diagonale nulle, du point de vue informatique on ne mémorise que $\frac{n(n-1)}{2}$ distances.

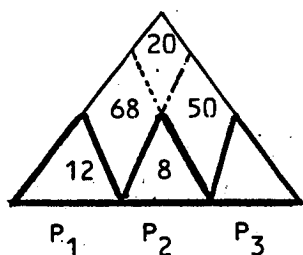
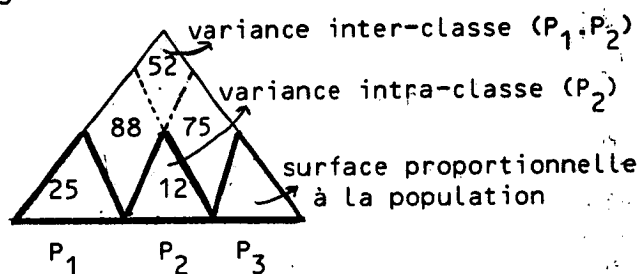
III-5-5- VALIDATION DES CLASSES

Quelle que soit la méthode de classification mise en oeuvre, seul l'utilisateur peut valider formellement les classes obtenues. En particulier, il faut tester la stabilité des classes obtenues vis à vis de différentes partitions initiales et vis à vis d'une modification de l'échantillon de la population. En (13.) sont exposés différents tests de validation utilisables par l'analyste.

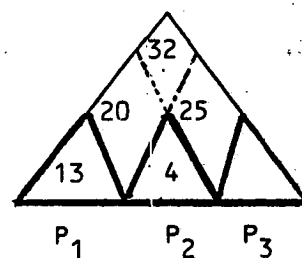
Plusieurs types de représentations graphiques sont possibles pour visualiser les résultats obtenus.

La représentation graphique que nous donnons est expliquée par l'exemple suivant :

EXEMPLE : 3 classes P_1 , P_2 , P_3 et 2 groupes de variables :



Contribution du
Premier groupe de variables
qualitatives



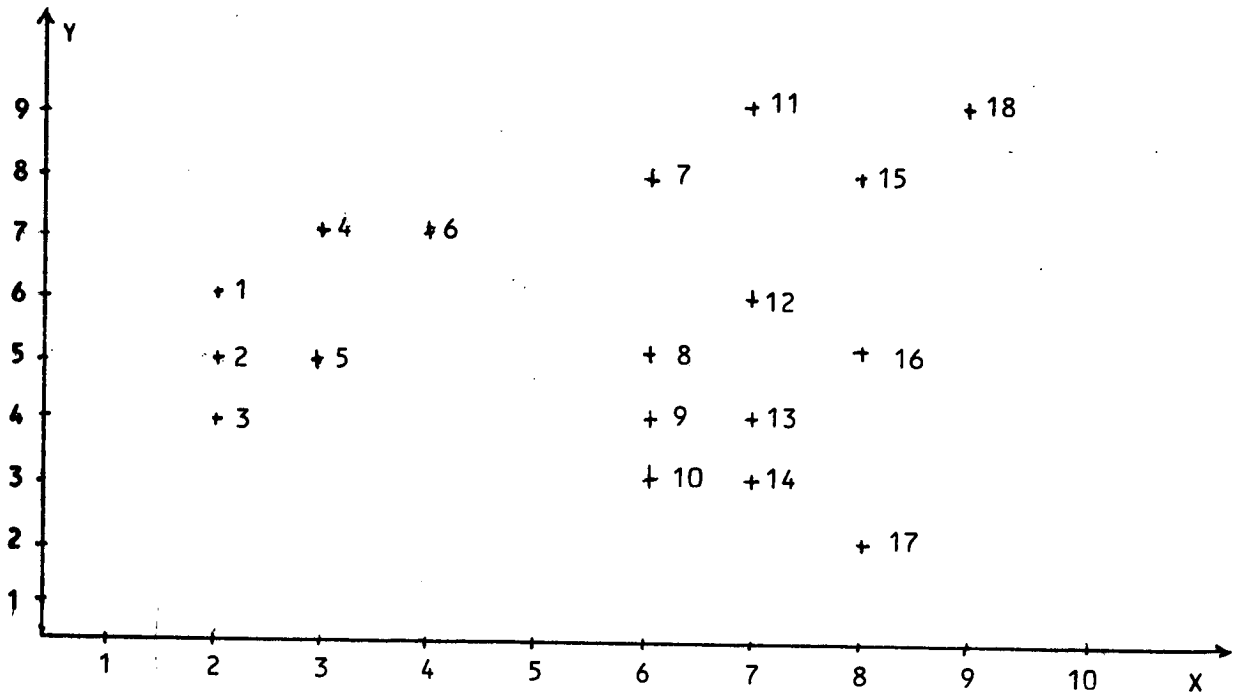
Contribution du
Deuxième groupe de variables
qualitatives

III-6- EXEMPLES

III-6-1- EXEMPLE 1

Il s'agit de tester l'algorithme à partir de données représentant 18 individus définis par deux paramètres (fig. 7.1). Les distances correspondantes sont données par le tableau 7.2 qui fournit également la partition initiale pour 3 classes. Au bout de trois itérations, l'algorithme converge vers les résultats suivants :

- classe 1 : 6,4,5,3,2,1
- classe 2 : 11,7,18,15
- classe 3 : 8,9,10,12,13,14,17,16



X,Y	X,Y	X,Y	X,Y
1 2,6	6 4,7	11 7,9	16 8,5
2 2,5	7 6,8	12 7,6	17 8,2
3 2,4	8 6,5	13 7,4	18 9,9
4 3,7	9 6,4	14 7,3	
5 3,5	10 6,3	15 8,8	

Distribution des données

Fig. 7.1

Matrice de distances - partition initiale

		1	1	1	1	1	1	2	2	2	2	2	2	3	3	3	3	3	3
		1	2	3	4	5	6	7	8	9	10	11	12	13	14	15	16	17	18
1	1	0	1	4	2	2	5	20	17	20	25	34	25	29	34	40	37	52	58
2	1	1	0	1	5	1	8	25	16	17	20	41	26	26	29	45	36	45	65
3	1	4	1	0	10	2	13	32	17	16	17	50	29	25	26	52	37	40	74
4	1	2	5	10	0	4	1	10	13	18	25	20	17	25	32	26	29	50	40
5	1	2	1	2	4	0	5	18	9	10	13	32	17	17	20	34	25	34	52
6	1	5	8	13	1	5	0	5	8	13	20	13	10	18	25	17	20	41	29
7	2	20	25	32	10	18	5	0	9	16	25	2	5	17	26	4	13	40	10
8	2	17	16	17	13	9	8	9	0	1	4	17	2	2	5	13	4	13	25
9	2	20	17	16	18	10	13	16	1	0	1	26	5	1	2	20	5	8	34
10	2	25	20	17	25	13	20	25	4	1	0	37	10	2	1	29	8	5	45
11	2	34	41	50	20	32	13	2	17	26	37	0	9	25	36	2	17	50	4
12	2	25	26	29	17	17	10	5	2	5	10	9	0	4	9	5	2	17	13
13	3	29	26	25	25	17	18	17	2	1	2	25	4	0	1	17	2	5	29
14	3	34	29	26	32	20	25	26	5	2	1	36	9	1	0	26	5	2	40
15	3	40	45	52	26	34	17	4	13	20	29	2	5	17	26	0	9	36	2
16	3	37	36	37	29	25	20	13	4	5	8	17	2	2	5	9	0	9	17
17	3	52	45	40	50	34	41	40	13	8	5	50	17	5	2	36	9	0	50
18	3	58	65	74	40	52	29	10	25	34	45	4	13	29	40	2	17	50	0

Matrice de distances - partition finale

		1	1	1	1	1	1	2	2	2	2	2	3	3	3	3	3	3	3
		1	2	3	4	5	6	7	11	12	15	18	9	13	10	8	16	17	14
1	1	0	1	4	2	2	5	20	34	25	40	58	20	29	25	17	37	52	34
2	1	1	0	1	5	1	8	25	41	26	45	65	17	26	20	16	36	45	29
3	1	4	1	0	10	2	13	32	50	29	52	74	16	25	17	17	37	40	26
4	1	2	5	10	0	4	1	10	20	17	26	40	18	25	25	13	29	50	32
5	1	2	1	2	4	0	5	18	32	17	34	52	10	17	13	9	25	34	20
6	1	5	8	13	1	5	0	5	13	10	17	29	13	18	20	8	20	41	25
7	2	20	25	32	10	18	5	0	2	5	4	10	16	17	25	9	13	40	26
11	2	34	41	50	20	32	13	2	0	9	2	4	26	25	37	17	17	50	36
12	2	25	26	29	17	17	10	5	9	0	5	13	5	4	10	2	2	17	9
15	2	40	45	52	26	34	17	4	2	5	0	2	20	17	29	13	9	36	26
18	2	58	65	74	40	52	29	10	4	13	2	0	34	29	45	25	17	50	40
9	3	20	17	16	18	10	13	16	26	5	20	34	0	1	1	1	5	8	2
13	3	29	26	25	25	17	18	17	25	4	17	29	1	0	2	2	2	5	1
10	3	25	20	17	25	13	20	25	37	10	29	45	1	2	0	4	8	5	1
8	3	17	16	17	13	9	8	9	17	2	13	25	1	2	4	0	4	13	5
16	3	37	36	37	29	25	20	13	17	2	9	17	5	2	8	4	0	9	5
17	3	52	45	40	50	34	41	40	50	17	36	50	8	5	5	13	9	0	2
14	3	34	29	26	32	20	25	26	36	9	26	40	2	1	1	5	5	2	0

Matrice des distances

Exemple 1

Fig. 7.2

III-6-2- EXEMPLE 2

Il s'agit d'analyser une population de pièces mécaniques de révolution regroupant des pignons, clabots, fourreaux, pièces diverses. Les plans des pièces ont été codés à l'aide du code OPITZ à 10 digits : 6 variables qualitatives et 4 variables numériques. Sur la production, on a prélevé un échantillon représentatif de 84 pièces.

On recherche une classification de ces pièces en familles.

Sur les variables qualitatives, nous utilisons la distance du khi-2, d_1 , tandis que les variables quantitatives sont reliées par la distance Euclidienne d_2 .

La distance totale entre deux individus est :

$$d = \alpha d_1 + (1-\alpha) d_2 \text{ avec}$$

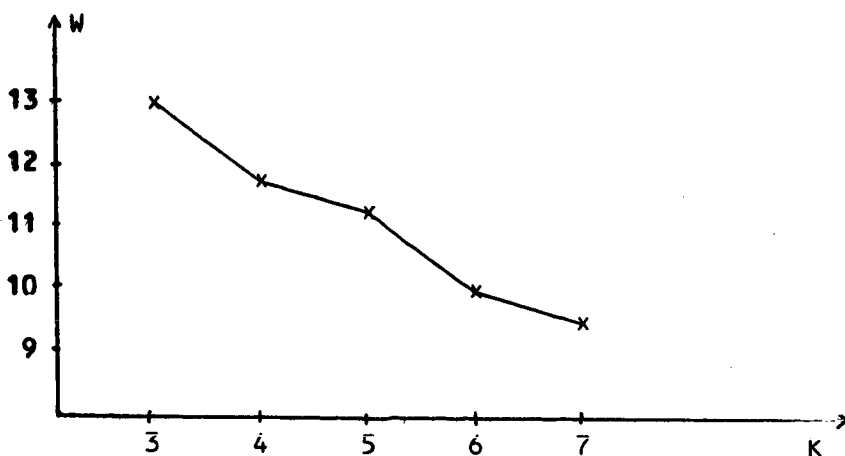
$$\alpha l \bar{d}_1 = (1-\alpha) t \bar{d}_2$$

l = nombre de variables qualitatives

t = nombre de variables quantitatives

\bar{d} = moyenne des distances.

Pour initialiser la procédure de classification, nous effectuons plusieurs tirages aléatoires. Parmi ces tirages nous retenons la partition finale minimisant le critère et ceci pour des nombres différents de classes (fig. 7.3).



Variations de W en fonction du nombre de classes

Fig. 3

La figure 7.3 montre que les partitions en quatre classes et six classes semblent les mieux appropriées.

Les résultats correspondant à ces partitions sont présentés figures 7.4 et 7.5

Moyenne intra-classes= 7.4820107263E+01
 Variance intra-classes= 3.3252744730E+03
 Moyenne inter-classes= 1.2644721546E+02
 Variance inter-classes= 5.3423961965E+03

Classe 1: 1 2 31 4 5 6 7 8 9 10 11 12 13 14 16 17 18 19 20 22 23 24 25
 26 27 28 29 30 3 32 21 15
 Classe 2: 61 62 65 66 68 69 70 71 75 78 82 83 84 56
 Classe 3: 67 73 74 76 77 79 80 81 63 64 72
 Classe 4: 49 43 41 45 36 37 53 48 35 34 39 44 46 38 47 33 54 59 60 40 51 55 50
 57 58 52 42

Meilleure Partition en 4 classes

Fig. 7.4

Moyenne intra-classes= 2.6825219316E+01
 Variance intra-classes= 4.0621017597E+02
 Moyenne inter-classes= 5.6198762432E+01
 Variance inter-classes= 1.6773556690E+03

Classe 1: 38 45 51 52 43 41 42 44 36 37 49 50 39 58 60 76 77 40
 Classe 2: 24 53 54 25 26 27 16 23
 Classe 3: 12 13 15 19 20 17 18 21 22 4 11 30
 Classe 4: 47 48 56 34 59 84 33 35 46 57 55
 Classe 5: 65 66 67 68 69 70 71 72 73 74 75 63 61 78 79 80 81 82 83 62 64
 Classe 6: 29 14 31 32 10 2 3 1 5 6 7 8 9 28

Meilleure Partition en 6 classes

Fig. 7.5

IV - CLASSEMENT D'UNE NOUVELLE PIECE

IV-2- HEURISTIQUE DE CLASSEMENT

Nous nous intéressons ici à l'aspect décisionnel de l'analyse discriminante. Ainsi, nous supposons connues les classes P_l sur l'ensemble d'apprentissage fini $A \subset E$. Nous recherchons une règle d'affectation F telle que pour un nouvel individu $x \in E$, $F(x)=P_l$ soit la décision d'affecter x à P_l . La décision devant être prise rapidement, nous donnons une règle F simple nécessitant peu de calculs. Une procédure du type "plus proche voisins" est donc rejetée et nous proposons l'heuristique suivante qui ne nécessite que le calcul de K distances, K étant le nombre de classes P_l , $l=1, \dots, K$.

1. Initialisation. $P=(P_1, \dots, P_K)$, $x_i \in A$, $\text{card } A = n$

1.1. Pour chaque classe P_l , $l=1, \dots, K$

$$I_l = \min_i \sum_j m_j d(x_i, x_j), \quad \forall x_i, x_j \in P_l$$

$g_l = x_i$ qui réalise le minimum précédent

$$M_l = \sum_{i \in P_l} m_i$$

2. Affectation. Soit un nouvel individu $x \in E$

2.1. Pour chaque classe P_l

$$\text{Faire } F_l(x) = M_l d(x, g_l) + I_l$$

2.2. x sera affecté à P_r pour

$$F_r(x) = \min_l F_l(x)$$

3. Fin de procédure.

Cette heuristique revient à rechercher pour chaque classe P_l l'individu g_l le plus proche du centre de gravité de P_l . A g_l est affectée la variance intra classe I_l . Les distances d étant quadratiques, on peut utiliser le théorème de Huygens. Si g_l^* est le centre de gravité de P_l , alors :

$$I_l^* = \sum_i m_i d(x_i, g_l^*)^2$$

d'où

$$D(x, P_l) = M_l d(x, g_l^*)^2 + I_l^*$$

n'est autre que la distance, à une constante près, utilisée dans l'algorithme de classification (III-5-2-).

L'erreur introduite par cette heuristique dépend de la distance entre g_l et g_l^* . Pour des classes non creuses, ce qui est notre cas, et compte tenu des propriétés de l'algorithme de classification, cette distance $d(g_l, g_l^*)$ est supposée faible par rapport à l'écart-type de la classe P_l .

La même heuristique peut être utilisée dans l'algorithme de classification, ce qui conduit à une simplification des calculs. En annexe, nous présentons cette heuristique de classification et l'appliquons à un exemple de non convergence de la méthode des nuées dynamiques, proposée par Lechevallier (9.).

IV-2- RENFORCEMENT

IV-2-1- APPRENTISSAGE SANS MAITRE

x est affecté à P_l .

Deux cas possibles :

- a) $\text{Var}(P_l + \{x\})$ décroît. On mémorise simplement x .
- b) $\text{Var}(P_l + \{x\})$ augmente. On mémorise x et on le comptabilise dans un compteur C .

Lorsque $\frac{C}{n} \geq b$ donné, on procède à une mise à jour des classes en effectuant une nouvelle classification.

IV-2-2- APPRENTISSAGE AVEC MAITRE

$F(x)$ affecte x à P_l .

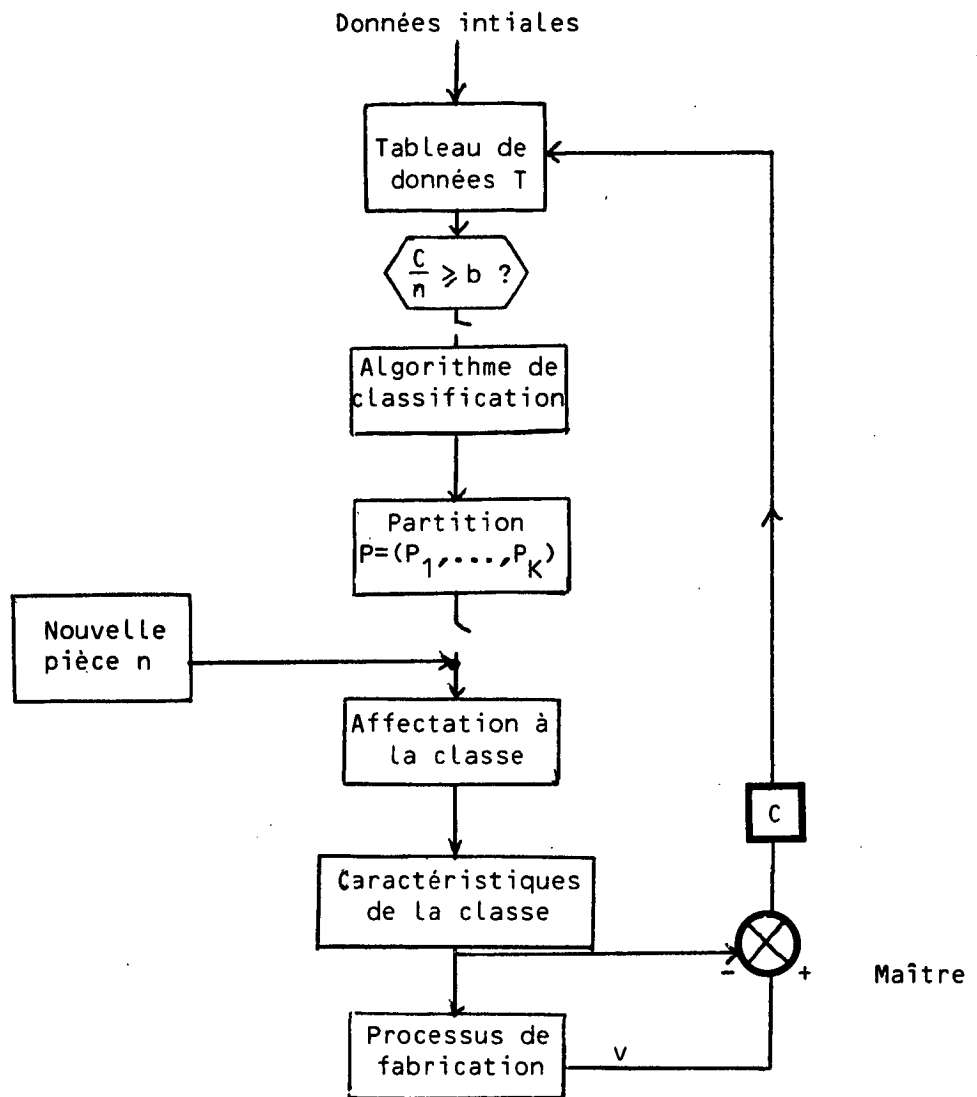
Deux cas sont possibles :

- a) l'affectation est bonne et on mémorise simplement x ,
- b) l'affectation est mauvaise : on mémorise x et on le comptabilise dans C .

Lorsque $\frac{C}{n} \geq b$ donné, on procède à une nouvelle classification (fig. 8).

IV-3- CAS DE DISTANCES SUR PLUSIEURS GROUPES

C'est un cas très fréquent en technologie de groupe. Sur un ensemble d'apprentissage A on effectue une classification à partir de la connaissance pour chaque pièce du code morphodimensionnel (1er groupe de variable E_1) et, par exemple, des gammes de fabrication (2ème groupe de variables E_2). Cette classification étant établie, on désire alors pouvoir classer de nouvelles pièces connaissant uniquement le premier groupe de variables. Cette méthode de génération de gammes de fabrication est appelée approche par variante (14.).



Procédure de renforcement

Fig. 8

Le deuxième groupe de variables est considéré alors comme une contrainte que l'on relaxe en diminuant le poids de d_2 après chaque convergence de l'algorithme.

V - CONCLUSION

Dans le cadre des études de la Technologie de Groupe Assistée par Ordinateur, nous avons présenté dans ce papier l'apport de l'analyse des données dans les problèmes de codage, de classification et de classement.

Nous proposons une méthode de classification automatique et de classement qui permet de constituer des familles de produits et de classer des nouveaux produits. Cette méthode tient compte des particularités des codes morphodimensionnels représentant les produits, de la nature différente des variables (qualitatives, quantitatives, ordinales) et de l'appartenance de ces variables à plusieurs groupes d'entités physiques (code morphodimensionnel, gamme de fabrication, devis, etc.).

Une application permet de tester l'efficacité des algorithmes proposés. Ce logiciel est destiné à être intégré à un système plus général de TGAO comprenant en particulier la recherche d'îlots de production et la génération de gammes de fabrication.

REFERENCES

1. J. PEKLENIK, J. GRUM :

"Investigation of the computer aided classification of parts", Annal CIR ,
vol 29/1/80, pp 319-323.

2. V. EVERSHEIM, F. LOCK :

"Use of multivariable statistical methods for application of group technology in design and process planning department", CIRP, vol 33/1/83,
pp 307-311.

3. J. MINOT, Y. LEMOINE, B. MUTEL :

"Implantation Assistée par ordinateur de la Technologie de Groupe", Congrès AFCET Automatique, Besançon, nov 83.

4. B. MUTEL :

"Reconnaissance de groupement technologique par des méthodes d'analyse des données", Congrès International Productique et Robotique, Bordeaux, Mars 84.

5. A. BRUYAND, B. MUTEL :

"Contribution of data analysis method to group technology implementation",
Congrès IFIP-IFAC, Prolamat, Paris 83.

6. A. NADIF :

"Transcodage de donnée de production", Rapport no 1 contrat ADEPA-LAEI,
juin 84.

7. B. FICHET, B. LE CALVE :

"Structure géométrique des principaux indices de dissimilarités sur signe de présence absence", Statistique et analyse des données, vol 9, no 3,
pp 11-44, 1984.

8. J. ESCOFFIER, J. PAGES :

"Comparaison de groupes de variables définies sur le même ensemble d'individus" Rapport de Recherche INRIA no 149, juillet 82.

9. Y. CHEVALIER :

"Optimisation de quelques critères en classification automatique", Thèse de 3^{ème} cycle, Université de Paris VI, juin 74.

10. H. GARCIA, J.M. PROTH :

"Group technology in production management : the short horizon planning level", Rapport de Recherche INRIA no 376.

11. A. NADIF, M. CONSTANTINI, B. MUTEL :

"Mesures de ressemblance de gammes de fabrication", APII, vol 19, no 5, 1985.

12. B. MUTEL, K. MEIER :

"A method for process-planning recognition. Application to Group Technology", Publication proposée à AMS 86, Chicago.

13. J. CHANDON, S. PINSON :

"Analyse typologique : théorie et application", Edition Masson.

14. B. MUTEL :

Cours de F.A.O., DEA de Production Automatisée.

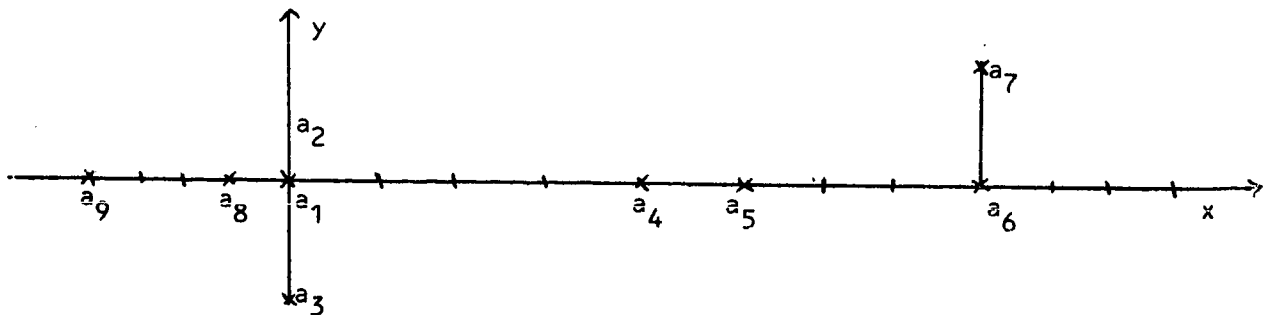
ANNEXE

HEURISTIQUE DE CLASSIFICATION

1. Initialisation
Partition initiale $P^{(0)} = (P_1, \dots, P_K)$, $W^{(0)} = \infty$
2. Pour chaque classe P_l , $l=1, \dots, K$
 - 2.1. Pour chaque individu $x_i \in P_l$
 - 2.1.1. Pour chaque individu $x_j \in P_l$ calculer $I_i = \sum_j m_j d(x_j, x_i)$
 $I_l = \min_i I_i$ pour $x_i = g_l$
3. Pour chaque individu x_i , $i=1, \dots, n$
 - 3.1. Pour chaque classe P_l , $l=1, \dots, K$
Faire $D(x_i, P_l) = d(x_i, g_l) + \frac{1}{M_l} I_l$
 - 3.1.1. Affecter x_i à P_l si $D(x_i, P_l) = \min_r D(x_i, P_r)$
4. Calculer $W' = \sum_{p=1}^K \sum_j m_j \sum_i m_i d(x_i, x_j)$
 - 4.1. Si $W^{(0)} - W' > \epsilon$ alors $W^{(0)} = W'$ et retourner en 2.
Sinon, fin de procédure.
5. Fin de procédure.

EXEMPLE

- Les données de cet exemple ainsi que la partition initiale sont tirés de (12).
- La distance entre les individus est la distance Euclidienne.



$$P = (P_1, P_2)$$

$$P_1^{(0)} = (a_1, a_2, a_3, a_4, a_8, a_9)$$

$$P_2^{(0)} = (a_5, a_6, a_7)$$

Tableau T des distances

	a_1	a_2	a_3	a_4	a_5	a_6	a_7	a_8	a_9
a_1	0	1	1	16	25	64	68	1	16
a_2	1	0	4	17	26	65	69	$\sqrt{2}$	17
a_3	1	4	0	17	26	65	73	$\sqrt{2}$	17
a_4	16	17	17	0	1	16	20	25	64
a_5	25	26	26	1	0	9	13	36	81
a_6	64	65	65	16	9	0	4	81	144
a_7	68	69	73	20	13	4	0	85	148
a_8	1	$\sqrt{2}$	$\sqrt{2}$	25	36	81	85	0	9
a_9	16	17	17	64	81	144	148	9	0

- ITERATION 1

Pour $P_1^{(0)}$, I est minimum avec $g_1 = a_1$, et $I_1 = \frac{35}{6}$

Pour $P_2^{(0)}$, I est minimum avec $g_2 = a_6$ et $I_2 = \frac{13}{3}$

$$W^{(0)} = 10,16$$

Construction de la nouvelle partition

$$P_1^{(1)} = (a_1, a_2, a_3, a_8, a_9)$$

$$P_2^{(1)} = (a_4, a_5, a_6, a_7)$$

- ITERATION 2

Pour $P_1^{(1)}$, I est minimum avec $g_1 = a_8$ et $I_1 = \frac{12,8}{5}$

Pour $P_2^{(1)}$, I est minimum avec $g_2 = a_5$ et $I_2 = \frac{23}{4}$

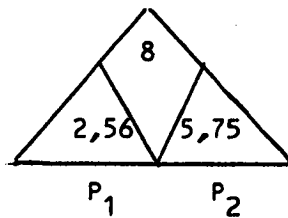
$$W^{(1)} = 8,31$$

Construction de la nouvelle partition

$$P_1^{(2)} = (a_1, a_2, a_3, a_8, a_9)$$

$$P_2^{(2)} = (a_4, a_5, a_6, a_7)$$

$$W^{(2)} = 8,31 : \text{convergence}$$



Avec cet exemple, la méthode présentée en (12.) page 23 (noyau constitué de deux individus et d'un centre de gravité) ne convergerait pas.

LISTING DES PROGRAMMES

```

1  (*$R+,U+ *)
2  program creemat(input,output);
3
4  (* ** programme de creation et de **
5     ** manipulation des donnees      **
6
7     --version du 10/01/86-----
8
9     nombre maxi de lignes   = 100
10    nombre maxi de colonnes = 10
11
12  *)
13
14  const nmax=100;
15        nmax=10;
16  type  typeligne=1..nmax;
17        typecol  =1..nmax;
18        bvect    = array[typecol] of boolean;
19        ivect     = array[typecol] of integer;
20        rvect     = array[typecol] of real;
21  var   matb      : array[typeligne] of ivect;
22        matr      : array[typeligne] of rvect;
23        pi        : array[typeligne] of integer;
24        filedim   : file of integer;
25        filemat   : file of bvect;
26        filematr  : file of rvect;
27        filepi    : file of integer;
28        rep       : char;
29        m,n       : integer;
30
31  (*$I wait.inc*)
32  (*$I litan.inc*)
33  (*$I litmat.inc*)
34  (*$I liter.inc*)
35  (*$I ecritmn.inc*)
36
37  procedure ecritmat;
38  var i:typeligne;
39      j:typecol;
40      t:bvect;
41  begin
42      ecritmn;
43      assign(filemat,'matb.dta');
44      rewrite(filemat);
45      for i:=1 to n do
46      begin
47          for j:=1 to m do
48              t[j]:=(matb[i][j]=1);
49              write(filemat,t)
50          end;
51          close(filemat)
52      end;
53
54  procedure ecritmatrel;
55  var i:typeligne;

```

```

56     j: typecol;
57 begin
58     ecritm;
59     assign(filematr,'matr.dta');
60     rewrite(filematr);
61     for i:=1 to n do
62         write(filematr,matr[i]);
63     close(filematr)
64 end;
65
66
67 procedure newmatbol;
68 (nouvelle matrice)
69 var i: typeligne;
70     j: typecol;
71
72 begin
73     writeln('Creation matrice booleenne');
74     writeln;
75     write('Nombre d''individus='');
76     readln(n);
77     write('Nombre de parametres='');
78     readln(m);
79     for i:=1 to n do
80         begin
81             writeln('individu ',i:3);
82             writeln('-----');
83             for j:=1 to m do
84                 begin
85                     write(j:3,' ');
86                     readln(matb[i][j])
87                 end
88             end;
89             ecritmat
90         end; (newmatbol)
91
92 procedure affmatbol;
93 (affiche mat. booleenne)
94 var i: typeligne;
95     j: typecol;
96
97 begin
98     litm;
99     litmat;
100    clrScr;
101    writeln('          Matrice booleenne');
102    writeln;
103    for i:=1 to n do
104        begin
105            for j:=1 to m do
106                if matb[i][j]=1 then write('1') else write(' ');
107            writeln;
108            if (i=n) or (i mod 20=0) then wait
109        end
110    end; (affmatbol)

```

```

111
112 procedure newmatrel;
113 var i:typeligne;
114     j:typecol;
115 begin
116     writeln('Creation matrice reelle');
117     writeln;
118     write('Nombre d''individus=');
119     readln(n);
120     write('Nombre de parametres=');
121     readln(m);
122     for i:=1 to n do
123     begin
124         writeln('individu ',i:3);
125         writeln('-----');
126         for j:=1 to m do
127         begin
128             write(j:3,' ');
129             readln(matr[i][j])
130         end
131     end;
132     ecritmatrel
133 end;
134
135 procedure affmatrel;
136 var i:typeligne;
137     j:typecol;
138
139 begin
140     litmn;
141     litmatrel;
142     clrScr;
143     writeln('                Matrice reelle');
144     writeln;
145     for i:=1 to n do
146     begin
147         for j:=1 to m do
148             write(matr[i][j]:3:1,' ');
149             writeln;
150             if (i=n) or (i mod 20=0) then wait
151         end
152     end;
153
154 procedure transrb;
155 var i:typeligne;
156     j:typecol;
157     u:integer;
158 begin
159     litmn;
160     litmatrel;
161     for i:=1 to n do
162         for j:=1 to m do
163         begin
164             if matr[i][j]<>0 then u:=1 else u:=0;
165             matb[i][j]:=u

```

```
166     end;
167     ecritmat
168 end;
169
170 procedure newponder;
171 var i:typeligne;
172     rep:char;
173 procedure ecritpond;
174 var i:typeligne;
175 begin
176     assign(filepi,'PI.DTA');
177     rewrite(filepi);
178     for i:=1 to n do
179         write(filepi,pi[i]);
180     close(filepi)
181 end;
182
183 begin
184     writeln('          Ponderations');
185     litmn;
186     writeln(' Initialisation de toutes');
187     writeln(' les ponderations a 1 ? (o/n)');
188     read(rep);
189     if rep='o' then
190     begin
191         for i:=1 to n do
192             pi[i]:=1
193         end;
194         ecritpond
195     end;
196
197 procedure litpond;
198 var i:typeligne;
199 begin
200     litmn;
201     assign(filepi,'PI.DTA');
202     reset(filepi);
203     for i:=1 to n do
204         read(filepi,pi[i]);
205     close(filepi)
206 end;
207
208 procedure affponder;
209 var i:typeligne;
210 begin
211     litpond;
212     writeln(' Ponderations:');
213     for i:=1 to n do
214     begin
215         writeln(' Individu ',i:3,' P=',pi[i]:3);
216         if (i=n) or (i mod 20=0) then wait
217     end
218 end;
219
220 procedure modif;
```

```

221 var u:integer;
222     i:typeligne;
223     j:typecol;
224 begin
225     writeln('Modification de la matrice reelle');
226     litmn;
227     litmatrel;
228     repeat
229         write('No de l''individu (ou 0)=');
230         readln(u);
231         if u<>0 then
232             begin
233                 i:=u;
234                 for j:=1 to m do
235                     write(matr[i,j]:5:2);
236                 writeln;
237                 write('No du parametre (ou 0)=');
238                 readln(u);
239                 if u<>0 then
240                     begin
241                         j:=u;
242                         writeln('ancienne valeur=',matr[i,j]:5:2);
243                         write('nouvelle valeur=');readln(matr[i,j]);
244                     end
245                 end
246             until u=0;
247             ecritmatrel
248         end;
249
250 procedure menu(var rep:char);
251
252 begin
253     clrscr;
254     writeln('      Manipulation des fichiers');
255     writeln('      -----');
256     writeln;
257     writeln(' [1] Creation matrice booleenne');
258     writeln(' [2] Affichage matrice booleenne');
259     writeln(' [3] Creation matrice reelle');
260     writeln(' [4] Affichage matrice reelle');
261     writeln(' [5] Transformation reelle->booleenne');
262     writeln(' [6] Creation des ponderations');
263     writeln(' [7] Affichage des ponderations');
264     writeln(' [8] Modifications');
265     writeln(' [9] Fin');
266     write (' -->');
267     readln(rep)
268 end; (end)
269
270
271 begin {creemat}
272     repeat
273         menu(rep);
274         case rep of
275             '1':newmatbol;

```

```
276      '2':affmatbol;  
277      '3':newmatrel;  
278      '4':affmatrel;  
279      '5':transrb;  
280      '6':newponder;  
281      '7':affponder;  
282      '8':modif;  
283      '9':begin end  
284      end (case)  
285      until (rep='9')  
286  end.
```

```

1  Program Makedis(input,output);
2  (*$U+,R+,C+ *)
3
4  (* Ce programme necessite que les fichiers 'DIM.DTA' et 'MATR.DTA'
5     aient ete crees par le programme de chargement 'Creemat'
6
7
8  * Creation du tableau de distances du Khi-2 sur les variables qualitatives
9     Les valeurs des modalites doivent etre entieres.
10 * Creation du tableau des distances Euclidiennes sur les variables
11    quantitatives.
12 * Le tableau final est place dans le fichier filedis (DIS.DTA) .
13
14    Version du 15/01/86 *)
15
16  const nmax=100;           { nb maxi d'individus }
17        mmax=10;           { nb maxi de variables }
18        pmax=4950;         { nmax(nmax+1)/2 }
19        pqmax=7;           { nb maxi de variables qualitatives }
20        modalmax=9;        { 0..9 modalites/variable }
21        TotModal=69;       { nb total de modalites=(modalmax+1)*pqmax-1 }
22        epsi=1E-9;
23  type  typeligne=1..nmax;
24        typecol  =1..mmax;
25        typeQ    =1..pqmax;
26        rvect    = array[typecol] of real;
27        disvect  = array[typeligne] of real;
28  var   matr      : array[typeligne] of rvect;
29        filedim   : file of integer;
30        filematr  : file of rvect;
31        filedis   : file of disvect;
32        rep       : char;
33        m,n       : integer;
34
35        lambda    : integer;
36        pq        : typeQ;
37        qual      : array[typecol] of boolean;
38        z         : array[typeligne,typeQ] of 0..modalMax;
39        tabToe    : array[typecol] of real;
40
41        Kmoy, Tok, K1, Emoy, Toe, E1, pq2 :real;
42
43  procedure litmn;
44  begin
45    assign(filedim,'DIM.DTA');
46    reset(filedim);
47    read(filedim,m);
48    read(filedim,n);
49    close(filedim)
50  end;
51
52  procedure litmatrel;
53  var i:typeligne;
54      j:typecol;
55  begin

```



```

56   litmn;
57   assign(filematr,'matr.dta');
58   reset(filematr);
59   for i:=1 to n do
60     read(filematr,matr[i]);
61   close(filematr)
62 end;
63
64 Procedure EntreeDonnees;
65 var j      :typeQ;
66     j1     :typecol;
67 begin
68   ClrScr;
69   writeln('-----');
70   writeln('!');
71   writeln('! CREATION DU FICHIER DES DISTANCES !');
72   writeln('!');
73   writeln('-----');
74   writeln;
75   write('Nombre de variables qualitatives=');
76   readln(pq);
77   pq2:=sqr(pq);
78   for j1:=1 to m do
79     qual[j1]:=false;
80   writeln('Donnez le rang des variables qualitatives:');
81   for j:=1 to pq do
82     begin
83       write(j:3,' ');
84       readln(j1);
85       qual[j1]:=true
86     end;
87   write('Nombre de modalites par variable (constant)=');
88   readln(lambda)
89
90 end;
91
92
93 Procedure CreeFileDis;
94
95 type typeModal=0..TotModal;
96 var rep      : char;
97     tabMod   : array[typeModal] of 0..Modalmax;
98     (*tabIndex est cree pour acclereler les acces*)
99     tabIndex: array[typeModal] of typeQ;
100     m_j      : array[typeModal] of real;
101     s        : typeModal;
102     alpha    : real;
103
104 procedure CreeTabIndex;
105 var j : typeModal;
106 begin
107   { tableau d'index q=f(j) }
108   writeln('Tableau d'index:');
109   for j:=0 to s do
110     begin

```

```
111     tabIndex[j]:=trunc(j/lambda)+1;
112     write(tabIndex[j]:2)
113     end;
114     writeln
115 end;
116
117 procedure CreeTabMod;
118 { tableau des modalites tabMod }
119 var j : typeModal;
120 begin
121     writeln('Tableau des modalites:');
122     for j:=0 to s do
123     begin
124         tabMod[j]:=j mod lambda;
125         write(tabMod[j]:2)
126     end;
127     writeln
128 end;
129
130 procedure Makez;
131 { creation du tableau z }
132 var q : integer;
133     j : typecol;
134     i : typeligne;
135 begin
136     writeln('Z: Tableau des Variables qualitatives:');
137     for i:=1 to n do
138     begin
139         write(i:2,', ');
140         q:=0;
141         for j:=1 to m do
142             if qual[j] then
143             begin
144                 q:=q+1;
145                 z[i,q]:=trunc(matr[i,j]);
146                 write(z[i,q]:2)
147             end;
148             writeln
149         end
150     end;
151
152 procedure CreeM_j;
153 var j : typemodal;
154     som : real;
155     q : typeQ;
156     i : typeligne;
157     li : 0..modalMax;
158 begin
159     writeln('Calcul des m.j ');
160     for j:=0 to s do
161     begin
162         som:=0;
163         for i:=1 to n do
164         begin
165             q:=tabIndex[j];
```

```

166     if z[i,q]=tabMod[j] then som:=som+1
167     end;
168     m_j[j]:=som;
169     end;
170     writeln;
171     ( edition des m.j )
172     write(' ');
173     for l1:=0 to lambda-1 do
174         write(l1:4);
175     writeln;
176     for q:=1 to pq do
177     begin
178         write(q:2,' ');
179         for l1:=0 to lambda-1 do
180             write(m_j[lambda*(q-1)+l1]:4:0);
181         writeln
182     end;
183     writeln;
184     for j:=0 to s do if m_j[j]<>0 then
185         m_j[j]:=1/m_j[j]
186     end;
187
188     procedure calc_m_j;
189
190     begin
191         ( calc_m_j )
192         s:=lambda*pq-1;
193         writeln('Nombre total de modalites=',s:3);
194         CreeTabIndex;
195         CreeTabMod;
196         Makez;
197         CreeM_j
198     end;
199     function Khi2(u,v:typeligne):real;
200         ( distance du khi2 entre u et v =d^2(u,v) )
201     var q:typeQ;
202         j:typeModal;
203         som:real;
204     begin
205         ( creeFileKhi2 )
206         som:=0;
207         for j:=0 to s do
208         begin
209             q:=tabIndex[j];
210             if m_j[j]<>0 then
211                 if z[u,q]<>z[v,q] then som:=som+m_j[j]
212             end;
213         Khi2:=som/pq2
214     end; ( Khi2 )
215
216     Procedure K_MoyEcart;
217     ( moyenne et ecart type de K=d(u,v) )
218     var u,v : typeligne;
219         tot : integer;
220         sig,sig2,x:real;
221         p : integer;

```

```

221 begin
222   writeln('          Distances du Khi-2:');
223   writeln('Calcul de la moyenne et de l''ecart type.');
```

$$\text{sig} := 0;$$

$$\text{sig2} := 0;$$

$$p := \text{trunc}(n * (n + 1) / 2);$$

```

227   for u:=1 to n do
228     for v:=u to n do
229       begin
230         x:=Khi2(u,v);
231         sig:=sig+x;
232         sig2:=sig2+sqr(x)
233       end;
234   tot:=trunc(n*(n+1)/2);
235   Kmoy:=sig/tot;
236   Tok:=sqrt(sig2/tot-sqr(Kmoy));
237   writeln;
238   writeln('Moyenne=',Kmoy:8:3,',Ecart Type=',Tok:8:3)
239 end;
240
241 procedure CalcMTo;
242 { calcule les moyennes et ecart type des variables quantitatives }
243 var j   : typecol;
244     i   : typeligne;
245     Moy : array[typecol] of real;
246     s,s2:real;
247 begin
248   writeln('Calcul des moyennes et ecarts types des variables quantitatives.');
```

$$\text{write('Variable :')};$$

```

250   for j:=1 to m do if (not qual[j]) then
251     begin
252       write(j:5);
253       s:=0;
254       s2:=0;
255       for i:=1 to n do
256         begin
257           s:=s+matr[i,j];
258           s2:=s2+sqr(matr[i,j])
259         end;
260       Moy[j]:=s/n;
261       TabToe[j]:=sqrt(s2/n-sqr(s/n))
262     end;
263   writeln;
264   write('Moyenne  :');
```

$$\text{for } j:=1 \text{ to } m \text{ do if (not qual[j]) then}$$

$$\text{write(Moy[j]:5:2);}$$

```

267   writeln;
268   write('Ecart Typ:');
```

$$\text{for } j:=1 \text{ to } m \text{ do if (not qual[j]) then}$$

$$\text{write(TabToe[j]:5:2);}$$

```

271   writeln;
272   writeln
273 end; {CalcMTo}
274
275 Function Euclide(u,v:typeligne):real;
```

```

276 ( distance euclidienne au carre entre les variables quantitatives
277   des individus u et v sur les variables normalises )
278 var x:real;
279   j:typecol;
280 begin
281   x:=0;
282   for j:=1 to m do if (not qual[j]) then
283     x:=x+sqr(matr[u,j]-matr[v,j])/TabToe[j];
284   Euclide:=x
285 end; { Euclide }
286
287
288 Procedure E_MoyEcart;
289 ( moyenne et ecart type des distances Euclidiennes )
290 var u,v : typeligne;
291   tot : integer;
292   p : 1..pmax;
293   sig,sig2,x:real;
294 begin
295   writeln('          Distances Euclidiennes:');
296   writeln('Calcul de la moyenne et de l'ecart type. ');
297   sig:=0;
298   sig2:=0;
299   p:=trunc(n*(n+1)/2);
300   for u:=1 to n do
301     for v:=u to n do
302       begin
303         x:=Euclide(u,v);
304         sig:=sig+x;
305         sig2:=sig2+sqr(x)
306       end;
307   tot:=trunc(n*(n+1)/2);
308   Emoy:=sig/tot;
309   Toe:=sqrt(sig2/tot-sqr(Emoy));
310   writeln;
311   writeln('Moyenne=',Emoy:8:3,',Ecart Type=',Toe:8:3)
312 end;
313
314 Procedure Creefic;          ( procedure de creation du fichier des distances )
315 var u,v : typeligne;
316   p : 0..pmax;
317   x,beta: real;
318   vect : disvect;
319 begin
320   ClrScr;
321   p:=sqr(n);
322   writeln('Creation du fichier des distances Khi2,Euclidienne...');
323   writeln('( ',p:6,' valeurs calculees. )');
324   assign(Filedis,'DIS.DTA');
325   rewrite(Filedis);
326   beta:=1-alpha;
327   for u:=1 to n do
328     begin
329       for v:=1 to n do
330         vect[v]:=alpha*Khi2(u,v) + beta*Euclide(u,v);

```

```
331     write(Filedis,vect);
332 end;
333 close(Filedis);
334 writeln;
335 writeln('Termine.')
336 end; (Creefic)
337
338 begin                                { CreeFileDis }
339     Calc_m_j;
340     write('Calcul des moy. et ecart type des Khi-2 o/n ?');
341     readln(rep);
342     if rep = 'o' then
343         K_MoyEcart;
344         CalcMTo;
345         E_MoyEcart;
346         writeln('Valeur du coefficient alpha :');
347         writeln('    ->0 pondere les variables Quantitatives. ');
348         writeln('    ->1      "      "      "      Qualitatives. ');
349         write ('    =');readln(Alpha);
350         Creefic
351     end;
352
353 begin                                { PROGRAMME PRINCIPAL }
354     EntreeDonnees;
355     litmn;
356     litmatrel;
357     CreeFileDis
358 end.
```

```

1  program ddc(input,output);
2  ( le 13/01/86 )
3
4          (-----)
5          (CLASSIFICATION DIRECTE D'UN ENSEMBLE )
6          (  D'INDIVIDUS EN k CLASSES SUR LA   )
7          (   MATRICE DES DISTANCES.           )
8          (-----)
9  (* ce programme necessite les fichiers DIM.DTA,DIS.DTA,
10     le fichier de resultats s'appelle RESULT.TXT *)
11
12  (*$R+,U+,C+ *)
13  const nmax=100;
14        mmax=10;
15        kmax=7;
16        col=80;
17  type  typeligne =1..nmax;
18        typecol   =1..mmax;
19        typeclasse=1..kmax;
20        typevect  =array[typeligne] of real;
21  var   pos      : array[typeligne] of typeligne;
22        af       : array[typeligne] of typeclasse;
23        filedim  : file of integer;
24        filedis  : file of typevect;
25        fileres  : text;
26        buf      : array[typeligne] of real;
27        rep      : char;
28        m,n,init: integer;
29        k        : typeclasse;
30        print    : boolean;
31        trait    : string[col];
32  (*$I wait.inc*)
33  (*$I litmn.inc*)
34
35
36  procedure litBuf(i:typeligne);
37  begin
38    seek(filedis,i-1);
39    read(filedis,buf)
40  end;
41
42  procedure initpos;
43  var i:typeligne;
44  begin
45    for i:=1 to n do
46      pos[i]:=i
47  end;
48
49  procedure ResetPart;
50  ( Remet a 1 la partition )
51  var i:typeligne;
52  begin
53    for i:=1 to n do
54      af[i]:=1
55  end;

```

```

56
57
58 procedure afficheDis;
59 ( Edite la matrice des distances sur imprimante ou ecran )
60 var i,il:typeligne;
61     rep :char;
62
63
64
65 begin
66     writeln('Matrice des distances, impression:');
67     if print then write('fichier ');
68     writeln('e)cran,n)on ');
69     repeat
70         write('-->');readln(rep);
71     until (rep in ['f','e','n']);
72     if ((not print) and (rep='f')) then rep:='n';
73     case rep of
74         'e':begin
75         writeln;
76         writeln('    Matrice de distances ');
77         writeln;
78         write(' ');
79         for i:=1 to n do
80             write(af[i]:2,' ');
81         writeln;
82         write(' ');
83         for i:=1 to n do
84             write(pos[i]:2,' ');
85         writeln;
86         for i:=1 to n do
87             begin
88                 litbuf(pos[i]);
89                 write(pos[i]:2,' ',af[i]:2,' ');
90                 for il:=1 to n do
91                     write(buf[pos[i]]:4:2,' ');
92                 writeln
93             end
94         end;
95         'f':begin
96         writeln(fileres,'    Matrice de distances ');
97         writeln(fileres);
98         write(fileres,' ');
99         for i:=1 to n do
100             write(fileres,af[i]:2,' ');
101         writeln(fileres);
102         write(fileres,' ');
103         for i:=1 to n do
104             write(fileres,pos[i]:2,' ');
105         writeln(fileres);
106         for i:=1 to n do
107             begin
108                 litbuf(pos[i]);
109                 write(fileres,pos[i]:2,' ',af[i]:2,' ');
110                 for il:=1 to n do

```



```

111         write(fileres,buff[pos[i11]:5:2,' ');
112         writeln(fileres)
113     end
114 end;
115 'n':begin end
116 end (*case*)
117 end;
118
119
120 procedure tri;
121 ( Trie les positions des individus ( pos[] ) selon
122   la classification ( af[] ) )
123
124 var i,i1,j: typeligne;
125     ik      : typeclasse;
126 begin
127     for i:=1 to n-1 do
128         for i1:=i+1 to n do
129             if af[i1]>af[i] then
130                 begin
131                     j:=pos[i];pos[i1]:=pos[i1];pos[i]:=j;
132                     ik:=af[i];af[i1]:=af[i1];af[i]:=ik
133                 end
134             end;
135
136 (*****
137  *
138  * PROCEDURES PRINCIPALES *
139  *
140  *****)
141
142 procedure ddc_Proc(k:typeclasse;init:integer);
143 const maxit=10;
144     epsi =0.01;
145
146 var  critab : array[0..maxit] of real;
147      t       : 0..maxit;
148      cardk   : array[typeclasse] of integer;
149
150 procedure initPart(methode:integer);
151 (* Generation de la partition initiale *)
152
153 var i,i1      : typeligne;
154     ik        : typeclasse;
155     ok        : array[typeclasse] of boolean;
156     okall     : boolean;
157
158 begin
159     case methode of
160         1:(*generation aleatoire*)
161         begin
162             (*note: generateur aleatoire pseudo uniforme
163             'randomize' initialise le generateur,
164             'random' genere un nombre n appartenant a [0,1[
165             *)

```

```

166     randomize;
167     repeat
168         for ik:=1 to k do
169             ok[ik]:=false;
170         for i:=1 to n do
171             begin
172                 ik:=trunc(random*k)+1;
173                 ok[ik]:=true;
174                 af[i]:=ik
175             end;
176         okall:=true;
177         for ik:=1 to k do
178             okall:=okall and ok[ik]
179         until okall
180     end;
181     2: (*generation manuelle*)
182     begin
183         writeln('Donnez les affectations des');
184         writeln(n:2, ' lignes aux ', k:2, ' classes');
185         for i:=1 to n do
186             begin
187                 write(i:2, ': ');
188                 readln(af[i])
189             end
190         end
191     end; (*case*)
192
193     for ik:=1 to k do
194         cardk[ik]:=0;
195     for i:=1 to n do
196         cardk[af[i]]:=cardk[af[i]]+1
197     end;
198
199     procedure new_clustering(var w:real);
200     (* Definition de la nouvelle partition *)
201     var i      : typeligne;
202         af1    : array[typeligne] of typeclasse;
203         ik     : typeclasse;
204         inertie : real;
205         cardk1  : array[typeclasse] of integer;
206
207     function inert(k:typeclasse; buf:typevect):real;
208     (* 'Inertie' de la classe k par rapport a l'individu de rang i *)
209     var j:typeligne;
210         x:real;
211     begin
212         x:=0;
213         for j:=1 to n do
214             if af[j]=k then
215                 x:=x+buf[pos[j]];
216         inert:=x
217     end;
218
219     procedure BestClasse(var bestk : typeclasse; var inertie : real);
220     (* Meilleure Classe pour l'individu de rang i selon le critere

```

```

221     1/card[ik]*inert(ik,i)          *)
222
223   var min,x      : real;
224       ik,index : typeclasse;
225       j:typeligne;
226   begin
227       min:=1E36;
228       for ik:=1 to k do
229         if cardk[ik]<>0 then
230           begin
231             x:=1/cardk[ik]*inert(ik,buf);
232             if x<min then
233               begin
234                 min:=x;
235                 index:=ik
236               end
237             end;
238           bestk:=index;
239           inertie:=min
240         end;
241       end;
242   begin (* new_clustering *)
243     for ik:=1 to k do
244       cardk1[ik]:=0;
245       w:=0;
246       for i:=1 to n do
247         begin
248           litbuf(pos[i]);
249           bestClasse(af[i],inertie);
250           w:=w+inertie;
251           cardk1[af[i]]:=cardk1[af[i]]+1
252         end;
253       end;
254       for i:=1 to n do
255         af[i]:=af[i];
256       for ik:=1 to k do
257         cardk[ik]:=cardk1[ik]
258       end; (* new_clustering *)
259
260   procedure afficheClasses;
261   var i : typeligne;
262       ik: typeclasse;
263       c : integer;
264   begin
265     for ik:=1 to k do
266       begin
267         if print then
268           begin
269             write(fileres,'Classe',ik:3,':');
270             c:=10
271           end;
272           write('Classe',ik:3,':');
273         for i:=1 to n do
274           if af[i]=ik then
275             begin

```

```

276         if print then
277         begin
278             write(fileres,pos[i]:3);
279             c:=c+3;
280             if c>col-3 then
281                 begin
282                     writeln(fileres);
283                     write(fileres,'          ');
284                     c:=10
285                 end
286             end;
287             write(pos[i]:3);
288         end;
289         if print then writeln(fileres);
290         writeln
291     end;
292     writeln
293 end;
294
295 procedure TailleClasses;
296 { Cumul des distances par bloc, moyennes variances intra-classes }
297 { Edition format !_0000.0_! }
298 const maxtrait=91; { 9*kmax+1 }
299 var tab : array [typeclasse,typeclasse] of real;
300     u,v : typeclasse;
301     i,j : typeligne;
302     s,s2,moyIntra,moyInter,VarIntra,VarInter : real;
303     nb,c : integer;
304     trait,trait2 : string[maxtrait];
305 begin
306     { Sommes }
307     for u:=1 to k do
308         for v:=1 to k do
309             tab[u,v]:=0;
310         for i:=1 to n do
311             begin
312                 litbuf(pos[i]);
313                 for j:=1 to n do
314                     tab[af[i],af[j]]:=tab[af[i],af[j]]+buf[pos[j]]
315             end;
316
317     { Moyenne, Variance intra-classes }
318     s:=0;
319     s2:=0;
320     nb:=0;
321     for u:=1 to k do
322         begin
323             s:=s+tab[u,u];
324             s2:=s2+sqr(tab[u,u]);
325             nb:=nb+1
326         end;
327     moyIntra:=s/nb;
328     VarIntra:=s2/nb-sqr(moyIntra);
329     { Variance inter-classes non vides }
330     s:=0;

```

```

331 s2:=0;
332 for u:=1 to k do
333   for v:=1 to k do
334     begin
335       s:=s+tab[u,v];
336       s2:=s2+sqr(tab[u,v])
337     end;
338 nb:=sqr(k);
339 MoyInter:=s/nb;
340 VarInter:=s2/nb-sqr(MoyInter);
341
342 { Edition }
343 writeln(' Moyenne intra-classes=',MoyIntra);
344 writeln(' Variance intra-classes=',VarIntra);
345 writeln(' Moyenne inter-classes=',MoyInter);
346 writeln(' Variance inter-classes=',VarInter);
347
348 if print then
349   begin
350     trait:='-';
351     trait2:='!';
352     for c:=1 to 9*k do
353       trait:=trait+'-';
354     for u:=1 to k do
355       trait2:=trait2+'!';
356     writeln(fileres);
357     writeln(fileres,' Cumul des distances par bloc');
358     writeln(fileres,' -----');
359     writeln(fileres);
360     writeln(fileres,trait);
361     for u:=1 to k do
362       begin
363         writeln(fileres,trait2);
364         write(fileres,'!');
365         for v:=1 to k do
366           write(fileres,' ',tab[u,v]:6:1,' !');
367         writeln(fileres);
368         writeln(fileres,trait2);
369         writeln(fileres,trait)
370       end;
371     writeln(fileres);
372     writeln(fileres,' Moyenne intra-classes=',MoyIntra);
373     writeln(fileres,' Variance intra-classes=',VarIntra);
374     writeln(fileres,' Moyenne inter-classes=',MoyInter);
375     writeln(fileres,' Variance inter-classes=',VarInter);
376     writeln(fileres)
377   end
378 end; { TailleClasses}
379
380 begin (*ddc_proc *)
381   initPart(init);
382   writeln('Partition initiale:');
383   if print then writeln(fileres,'Partiton initiale');
384   afficheClasses;
385   if print then writeln(fileres,trait);

```

```

386     t:=0;
387     critab[t]:=0;
388
389     (*-----debut du processus iteratif-----*)
390     repeat
391         t:=t+1;
392         if print then writeln(fileres);
393         writeln('Iteration ',t:3,' ');
394         new_clustering(critab[t]);
395         tri;
396         afficheClasses;
397         if print then writeln(fileres,'A l''iteration ',t:3,' Critere=',critab[t]);
398         writeln('Critere=',critab[t]);
399         if print then writeln(fileres,trait);
400         writeln;
401     until (abs(critab[t]-critab[t-1])<epsi)
402         or (t=maxit);
403     if t=maxit then
404     begin
405         writeln(' ** Nombre maxi d''iterations atteint');
406         writeln;
407         if print then
408             begin
409                 writeln(fileres,' ** Nombre maxi d''iterations atteint');
410                 writeln(fileres)
411             end
412         end;
413     TailleClasses;
414     AfficheClasses
415     (*----- fin du Processus iteratif-----*)
416
417 end; (ddc_proc)
418
419 procedure EntreeDonnees(var k : typeclasse;var m : integer;var print :boolean);
420 var rep:char;
421     c:1..col;
422 begin
423     ClrScr;
424     writeln('*****');
425     writeln('* ');
426     writeln('* programme ddc : Classification directe ');
427     writeln('* sur matrice des distances ');
428     writeln('* ');
429     writeln('*****');
430     writeln;
431     litmn;
432     initpos;
433     resetPart;
434     write('Resultats intermediaires sur fichier (o/n) ?');
435     readln(rep);
436     if rep='o' then
437     begin
438         assign(Fileres,'Result.txt');
439         rewrite(Fileres);
440         writeln(Fileres,' Classification directe sur la matrice des distan

```

```
441      writeln(Fileres,
442      writeln(Fileres);
443      print:=true
444      end
445      else print:=false;
446  writeln;
447  affichedis;
448  write('Nombre de classes=');
449  readln(k);
450  writeln('Partition initiale:');
451  write ('a)leatoire m)anuelle ?');
452  readln(rep);
453  if rep='m' then m:=2
454      else m:=1;
455  writeln;
456
457  trait:='-';
458  for c:=1 to col do
459      trait:=trait+'-';
460  end;
461
462  begin (*principal = DDC *)
463      Assign(filedis,'DIS.DTA');
464      reset(filedis);
465      EntreeDonnees(k,init,print);
466      ddc_proc(k,init);
467
468      close(Filedis);
469      if print then close(Fileres)
470
471  end.
```

Imprimé en France
par
l'Institut National de Recherche en Informatique et en Automatique

47

50

51

52

53

54